



Высокая стойкость к
электротермоциклированию
Низкие статические и динамические потери
Разработан для промышленного применения

Лавинный Диод
Тип ДЛ273-3200-36

Средний прямой ток	I_{FAV}		3200 А	
Повторяющееся импульсное обратное напряжение	U_{RRM}		3000 ÷ 3600 В	
U_{RRM} , В	3000	3200	3400	3600
Класс по напряжению	30	32	34	36
T_j , °С	- 60 ÷ 175			

ПРЕДЕЛЬНО ДОПУСТИМЫЕ ЗНАЧЕНИЯ ПАРАМЕТРОВ

Обозначение и наименование параметра		Ед. изм.	Значение	Условия измерения	
Параметры в проводящем состоянии					
I_{FAV}	Средний прямой ток	А	3200 3305	$T_c=103$ °С; двухстороннее охлаждение; $T_c=100$ °С; двухстороннее охлаждение; 180 эл. град. синус; 50 Гц	
I_{FRMS}	Действующий прямой ток	А	5024	$T_c=103$ °С; двухстороннее охлаждение; 180 эл. град. синус; 50 Гц	
I_{FSM}	Ударный ток	кА	42.0 50.0	$T_j=T_{jmax}$ $T_j=25$ °С	180 эл. град. синус; $t_p=10$ мс; единичный импульс; $U_R=0$ В
			44.0 53.0	$T_j=T_{jmax}$ $T_j=25$ °С	180 эл. град. синус; $t_p=8.3$ мс; единичный импульс; $U_R=0$ В
I^2t	Защитный фактор	$A^2c \cdot 10^3$	8800 12500	$T_j=T_{jmax}$ $T_j=25$ °С	180 эл. град. синус; $t_p=10$ мс; единичный импульс; $U_R=0$ В
			8000 11600	$T_j=T_{jmax}$ $T_j=25$ °С	180 эл. град. синус; $t_p=8.3$ мс; единичный импульс; $U_R=0$ В
Блокирующие параметры					
U_{RRM}	Повторяющееся импульсное обратное напряжение	В	3000 ÷ 3600	$T_{jmin} < T_j < T_{jmax}$; 180 эл. град. синус; 50 Гц	
$U_{(BR)}$	Пробивное напряжение	В	3450 ÷ 4050	$T_j=25$ °С; $I_{br}=100$ мА; $t_p = 10$ мс; 5 Гц	
U_R	Постоянное обратное напряжение	В	$0.6 \cdot U_{RRM}$	$T_j=T_{jmax}$	
P_{RSM}	Ударная обратная рассеиваемая мощность	кВт	16	$T_j= T_{jmax}$; $t_p = 100$ мкс; 180 эл. град. синусоидальный ток; единичный импульс	
Тепловые параметры					
T_{stg}	Температура хранения	°С	- 60 ÷ 50		
T_j	Температура р-п перехода	°С	- 60 ÷ 175		
Механические параметры					
F	Монтажное усилие	кН	40.0 ÷ 50.0		
a	Ускорение	м/с ²	50	В зажатом состоянии	

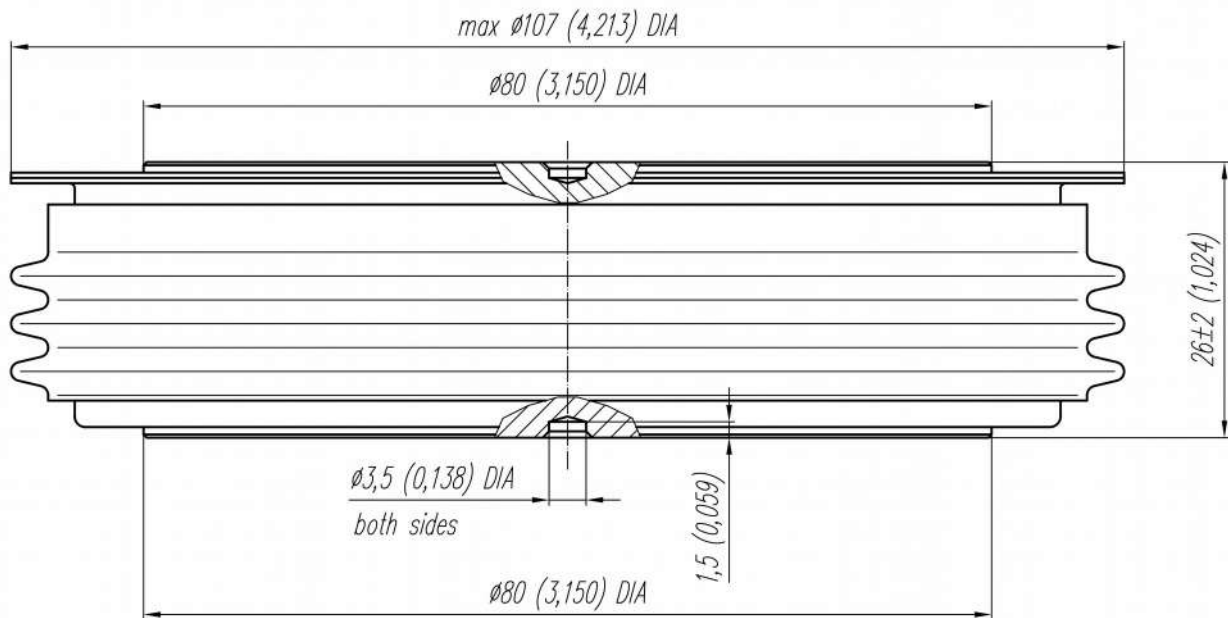
ХАРАКТЕРИСТИКИ

Обозначение и наименование характеристики		Ед. изм.	Значение	Условия измерения	
Характеристики в проводящем состоянии					
U_{FM}	Импульсное прямое напряжение, макс	В	2.20	$T_j=25\text{ }^\circ\text{C}; I_{FM}=10048\text{ А}$	
$U_{F(TO)}$	Пороговое напряжение, макс	В	1.05	$T_j=T_{j\text{ max}};$ $0.5 \pi I_{FAV} < I_T < 1.5 \pi I_{FAV}$	
r_T	Динамическое сопротивление, макс	МОм	0.200		
Блокирующие характеристики					
I_{RRM}	Повторяющийся импульсный обратный ток, макс	мА	150	$T_j=T_{j\text{ max}};$ $U_R=U_{RRM}$	
Динамические характеристики					
Q_{rr}	Заряд обратного восстановления, макс	мкКл	5550	$T_j=T_{j\text{ max}}; I_{FM}=1500\text{ А};$ $di_R/dt=-5\text{ А/мкс};$ $U_R=100\text{ В};$	
t_{rr}	Время обратного восстановления, макс	мкс	75.0		
I_{rrM}	Ток обратного восстановления, макс	А	148		
Тепловые характеристики					
R_{thjc}	Тепловое сопротивление р-п переход-корпус, макс	$^\circ\text{C/Вт}$	0.0085	Постоянный ток	Двухстороннее охлаждение
R_{thjc-A}			0.0187		Охлаждение со стороны анода
R_{thjc-K}			0.0153		Охлаждение со стороны катода
R_{thck}	Тепловое сопротивление корпус-охладитель, макс	$^\circ\text{C/Вт}$	0.0020	Постоянный ток	
Механические характеристики					
w	Масса, макс	г	1500		
D_s	Длина пути тока утечки по поверхности	мм (дюйм)	32.70 (1.287)		
D_a	Длина пути тока утечки по воздуху	мм (дюйм)	24.00 (0.945)		

МАРКИРОВКА

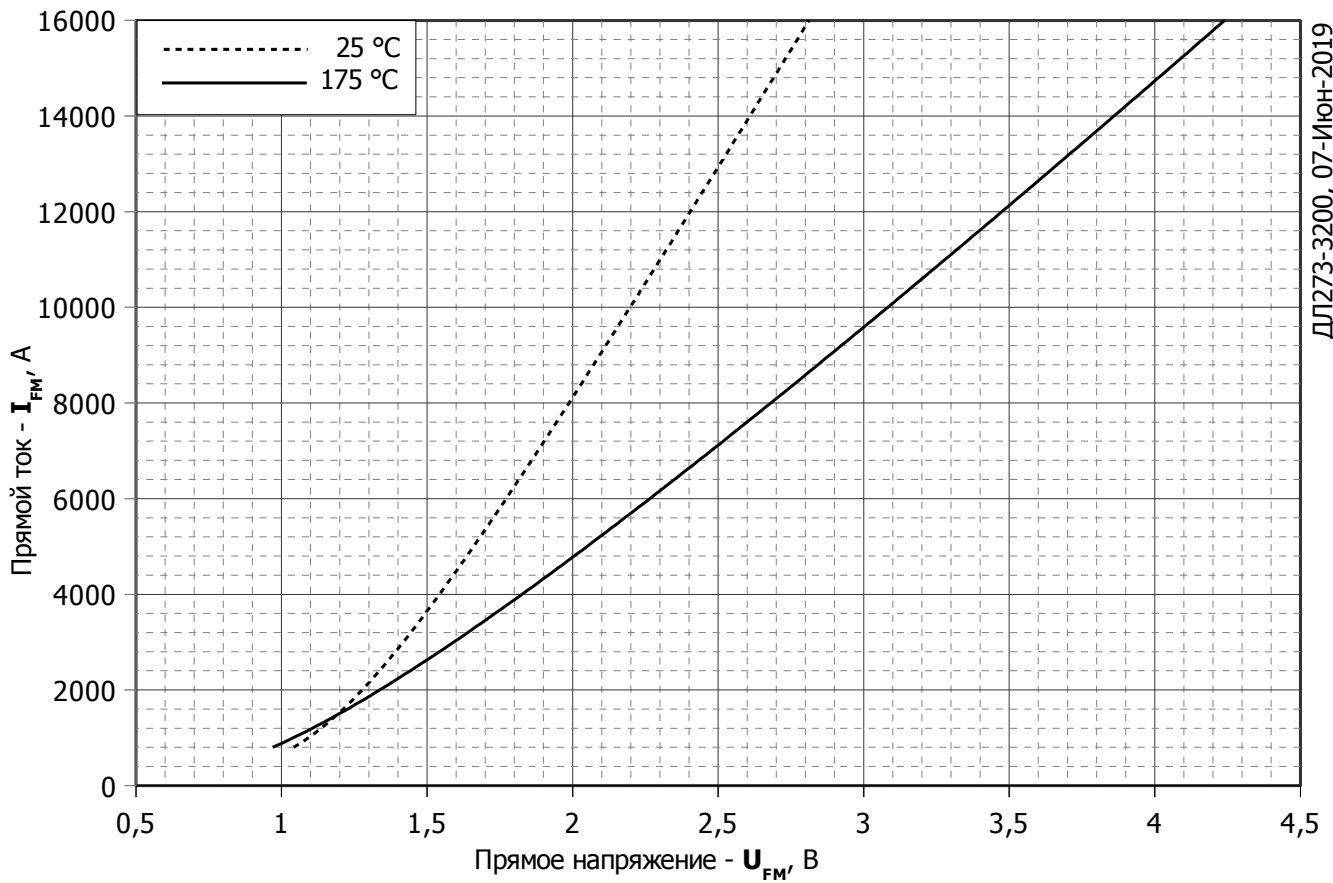
ДЛ	273	3200	36	УХЛ2
1	2	3	4	5

1. ДЛ — Лавинный диод
2. Конструктивное исполнение
3. Средний прямой ток, А
4. Класс по напряжению
5. Климатическое исполнение по ГОСТ 15150: УХЛ2, Т2



Все размеры в миллиметрах (дюймах)

Содержащаяся здесь информация является конфиденциальной и находится под защитой авторских прав. В интересах улучшения качества продукции, АО «Протон-Электротекс» оставляет за собой право изменять информационные листы без уведомления.



ДЛ273-3200, 07-Июн-2019

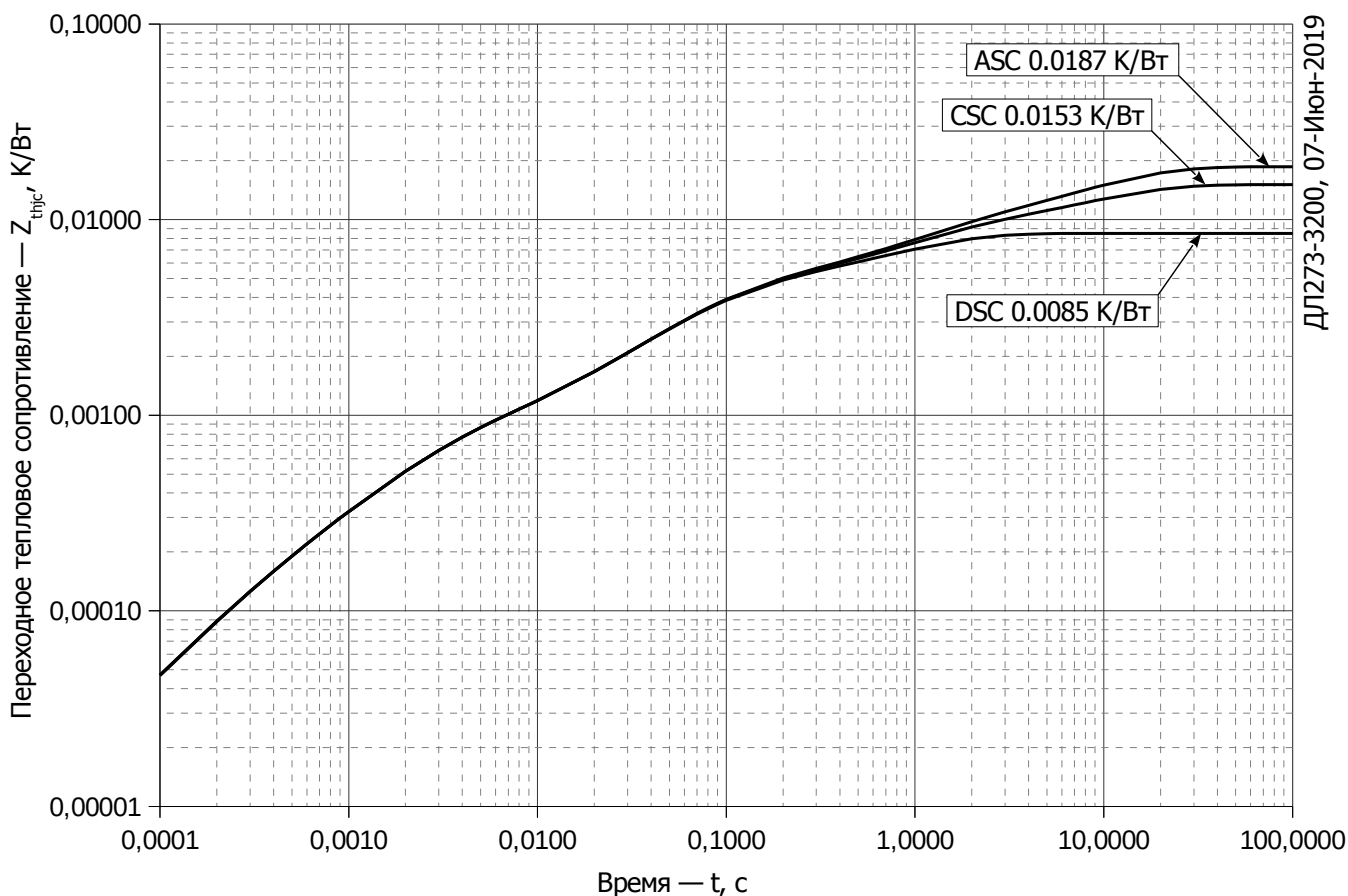
Рис. 1 – Предельная вольт–амперная характеристика

Аналитическая функция предельной вольт — амперной характеристики:

$$U_F = A + B \cdot i_F + C \cdot \ln(i_F + 1) + D \cdot \sqrt{i_F}$$

	Коэффициенты для графика	
	$T_j = 25^\circ\text{C}$	$T_j = T_{j \max}$
A	-0.27916000	0.10736000
B	0.00010897	0.00016001
C	0.20615000	0.08469000
D	-0.00511710	0.00595080

Модель предельной вольт – амперной характеристики (см. Рис. 1).



ДЛ273-3200, 07-Июн-2019

Рис. 2 – Зависимость переходного теплового сопротивления Z_{thjc} от времени t

Аналитическая зависимость переходного теплового сопротивления переход — корпус:

$$Z_{thjc} = \sum_{i=1}^n R_i \left(1 - e^{-\frac{t}{\tau_i}} \right)$$

Где $i = 1$ до n , n – число суммирующихся элементов.

t = продолжительность импульсного нагрева в секундах.

Z_{thjc} = Тепловое сопротивление за время t .

R_i, τ_i = расчетные коэффициенты, приведенные в таблице.

Постоянный ток, двухстороннее охлаждение.

i	1	2	3	4	5	6
$R_i, \text{K/W}$	0.00007989	0.002973	0.0005936	0.000846	0.0005975	0.003948
τ_i, c	1.688	0.06219	0.002329	0.138	0.0003243	0.9533

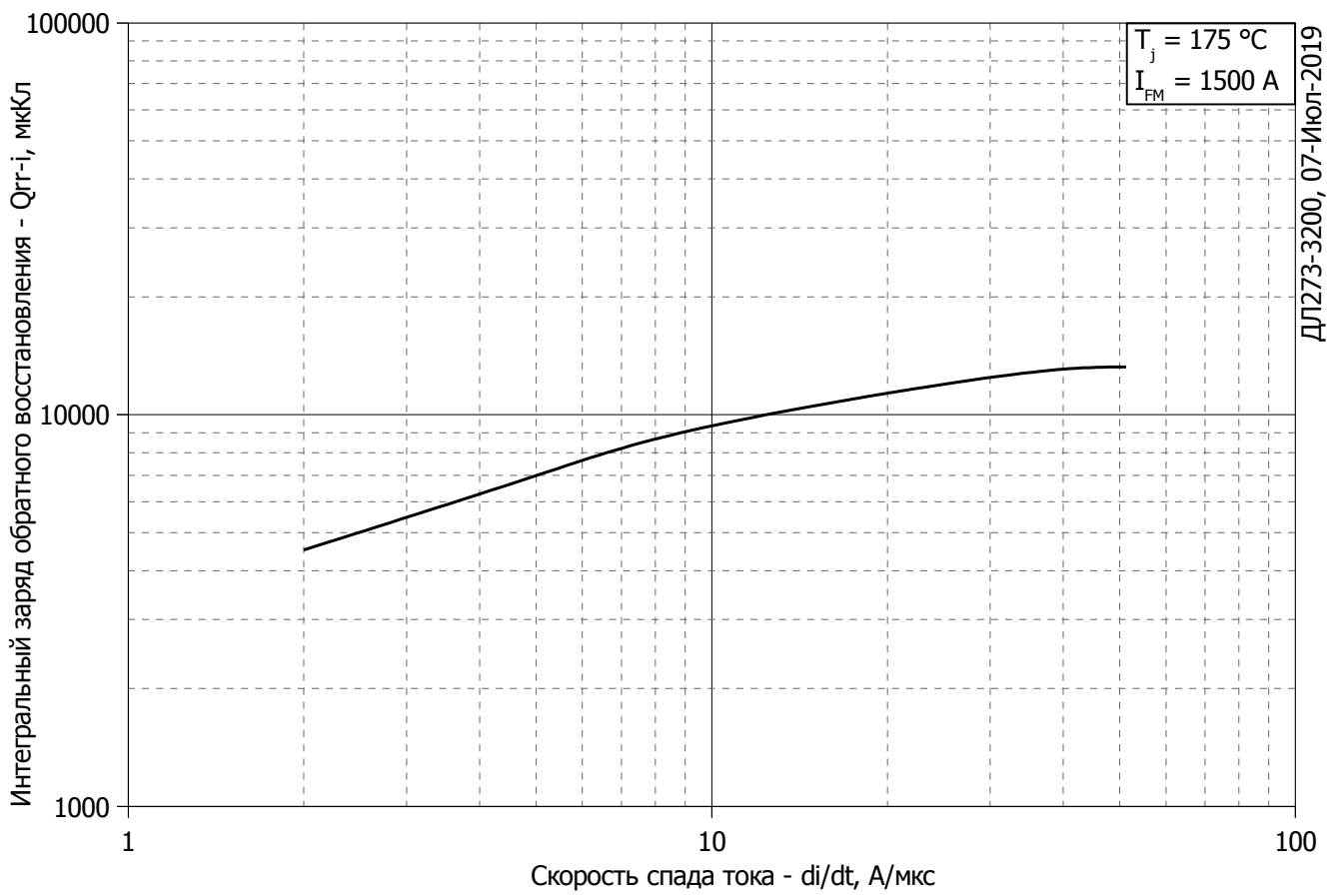
Постоянный ток, охлаждение со стороны катода.

i	1	2	3	4	5	6
$R_i, \text{K/W}$	0.006619	0.004034	0.0008595	0.002956	0.0005965	0.00005689
τ_i, c	9.744	1.025	0.1394	0.06237	0.002318	0.0003037

Постоянный ток, охлаждение со стороны анода.

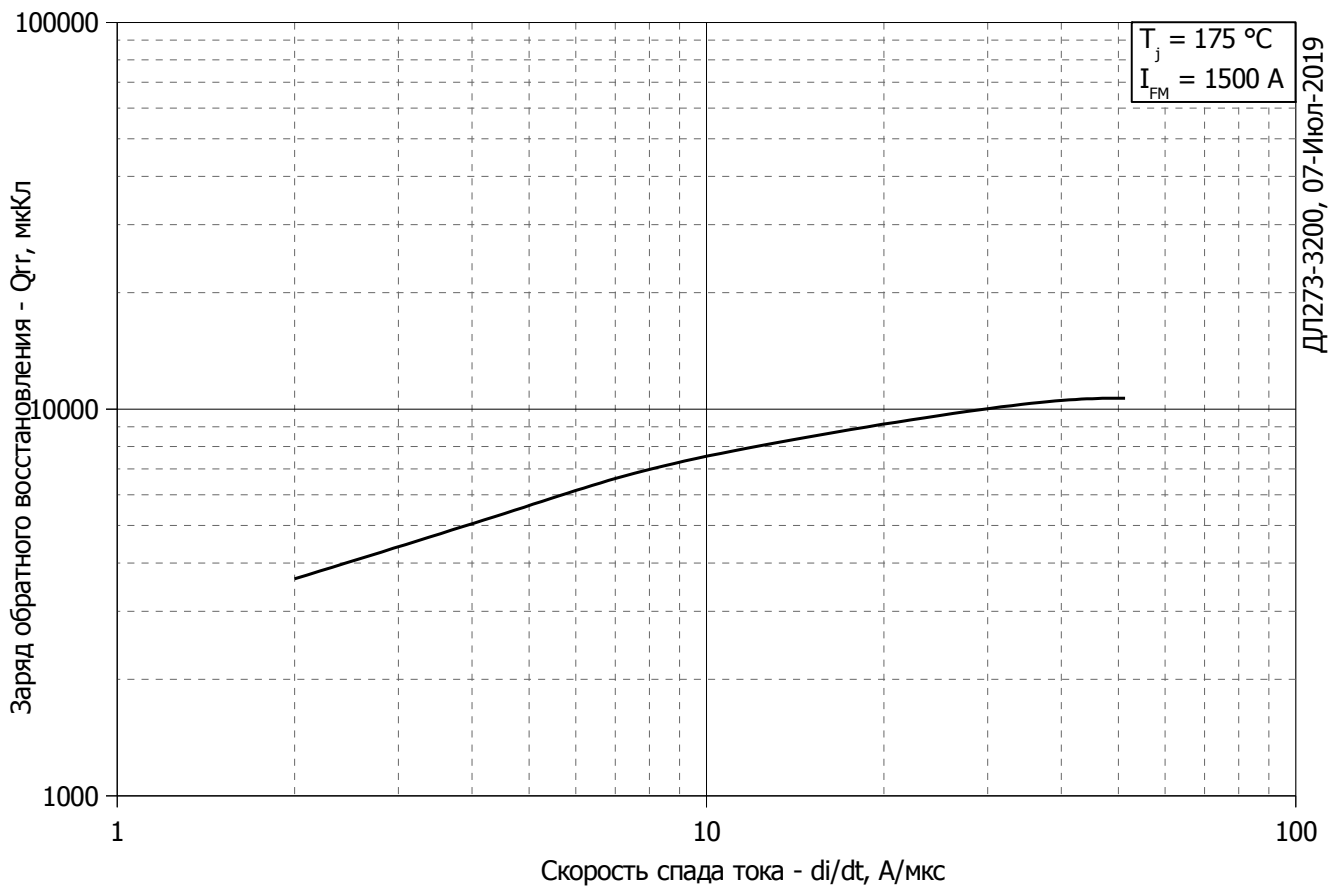
i	1	2	3	4	5	6
$R_i, \text{K/W}$	0.01013	0.004062	0.0009401	0.002853	0.0005963	0.00005641
τ_i, c	9.747	1.058	0.1304	0.06179	0.002313	0.0003013

Модель переходного теплового сопротивления переход - корпус (см. Рис. 2)



ДЛ273-3200, 07-Июль-2019

Рис. 3 – Зависимость максимального интегрального заряда обратного восстановления Q_{rr-i} от скорости спада прямого тока di_R/dt



ДЛ273-3200, 07-Июль-2019

Рис. 4 – Зависимость максимального заряда обратного восстановления Q_{rr} от скорости спада прямого тока di_R/dt (по ГОСТ 24461, хорда 25%)

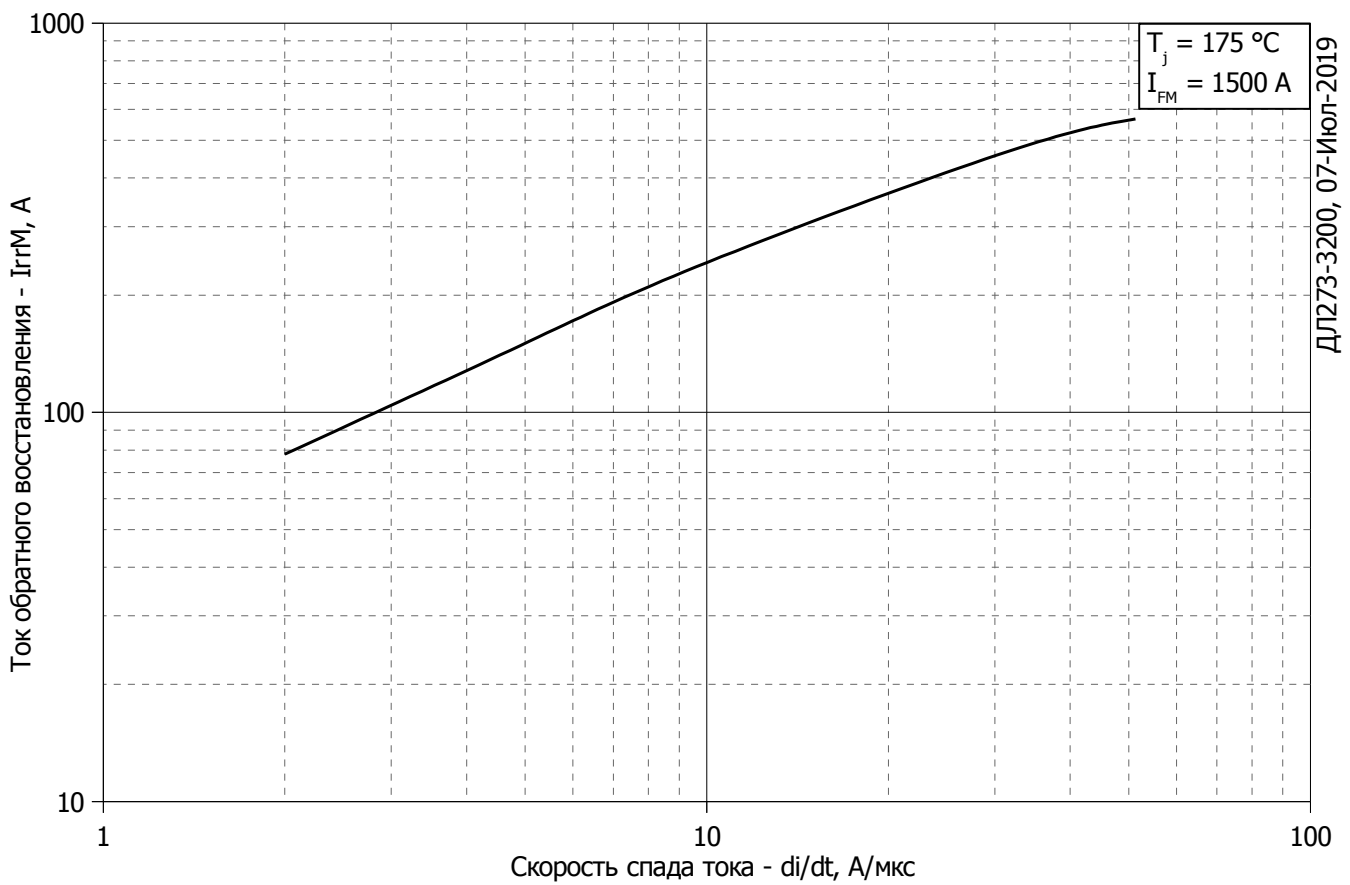


Рис. 5 – Зависимость максимального тока обратного восстановления I_{FM} от скорости спада прямого тока di_R/dt

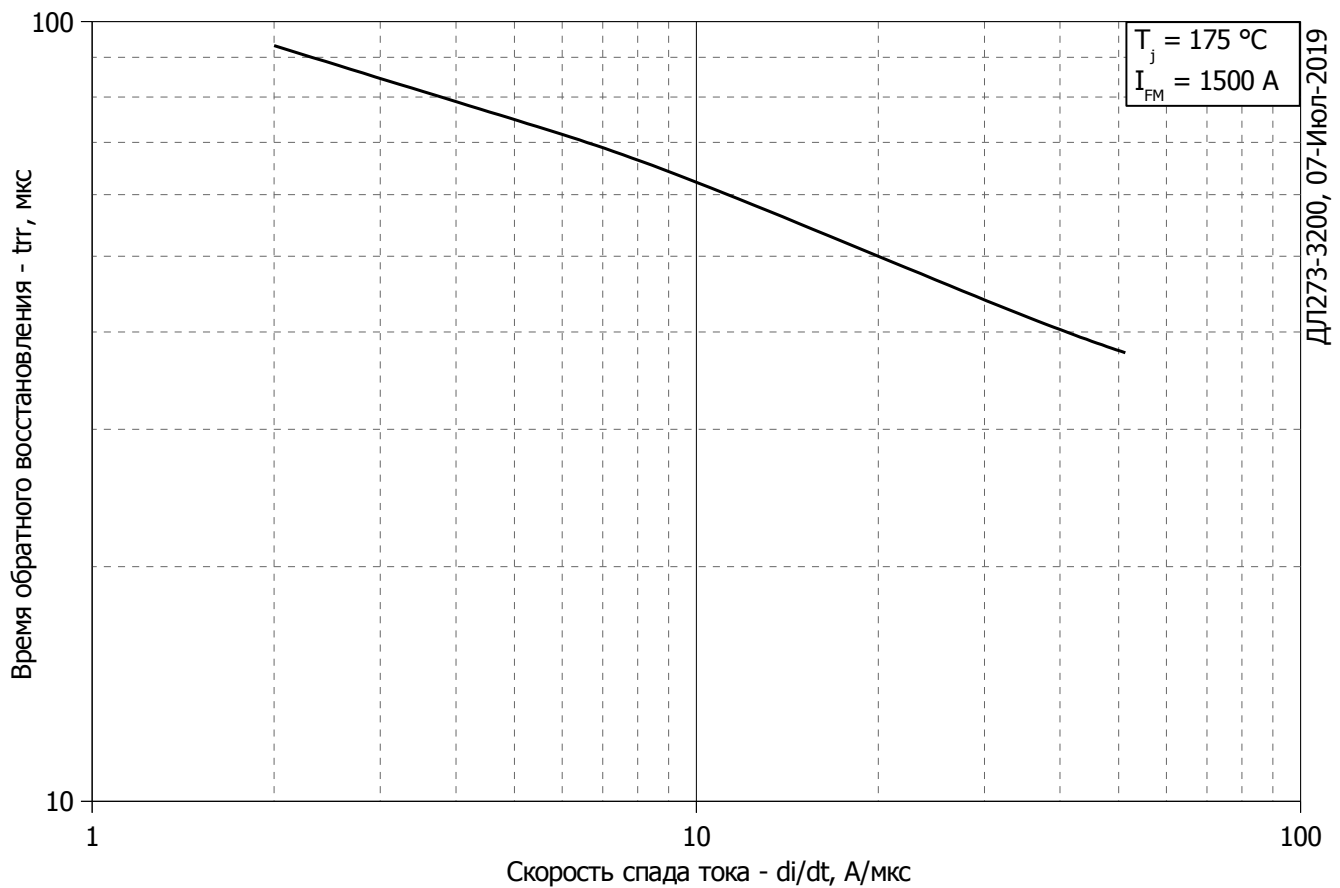
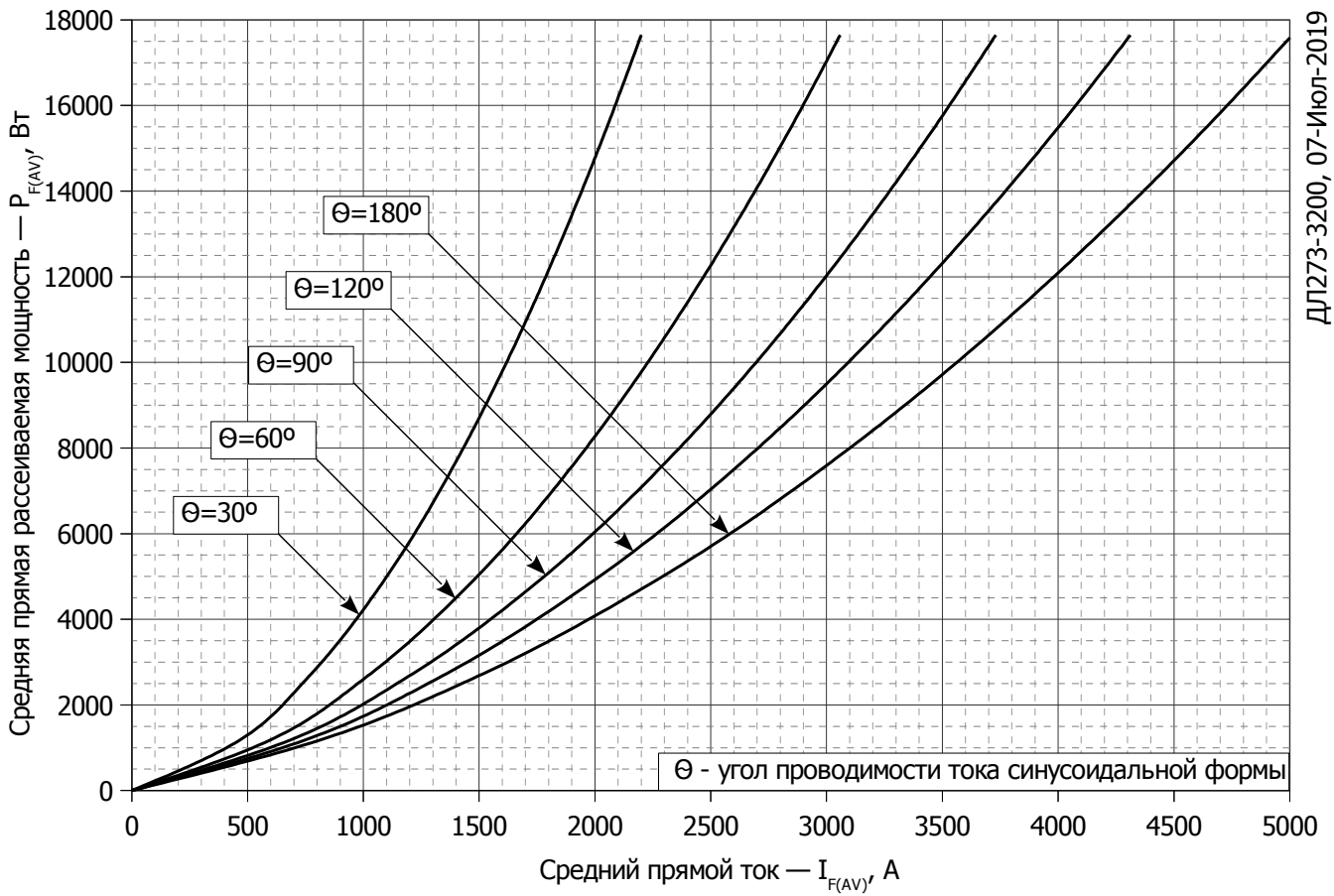
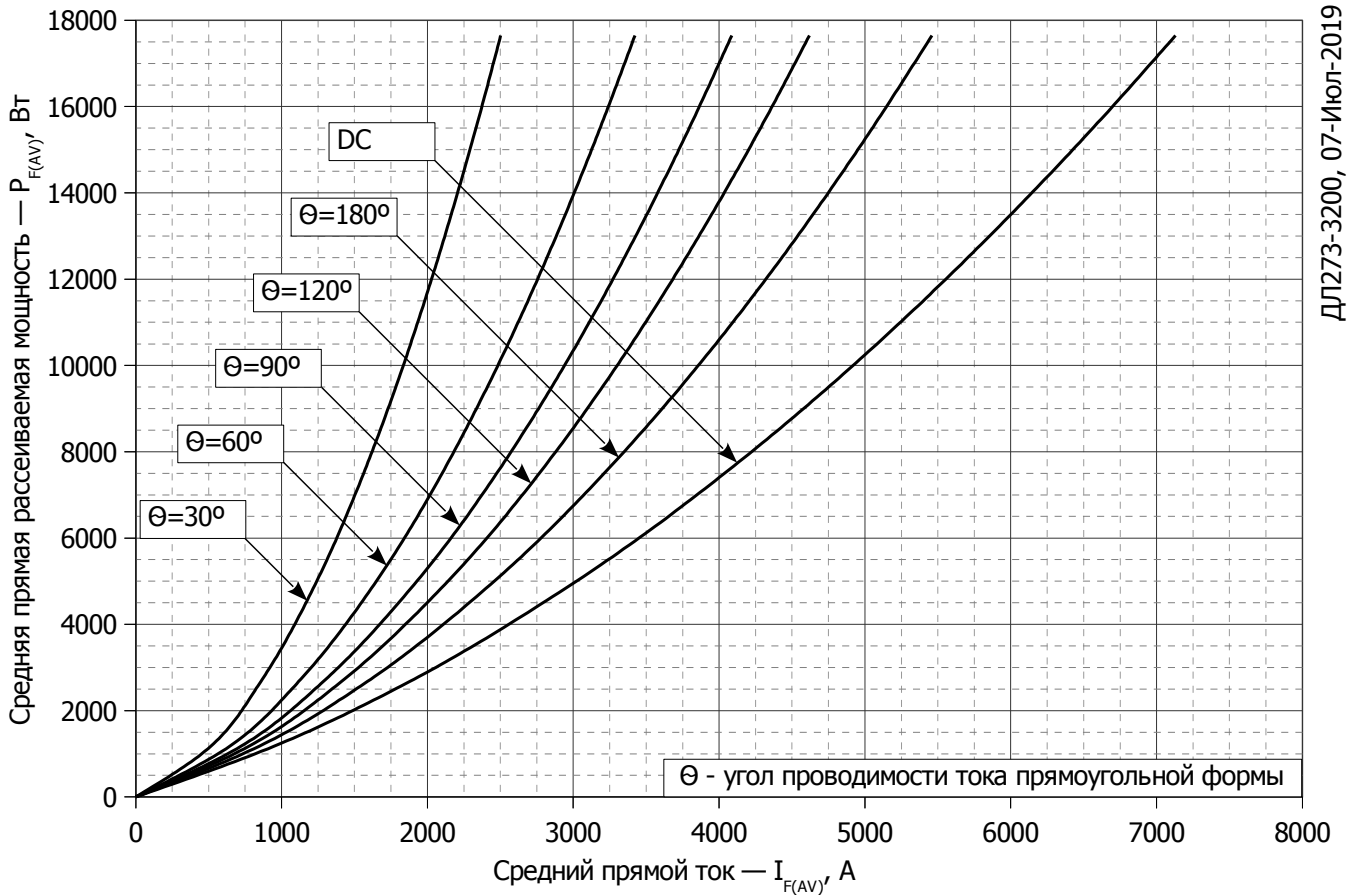


Рис. 6 - Зависимость максимального времени обратного восстановления t_{tr} от скорости спада прямого тока di_R/dt (по ГОСТ 24461, хорда 25%)



ДЛ273-3200, 07-Июль-2019

Рис. 7 - Зависимость потерь мощности P_{FAV} от среднего прямого тока I_{FAV} синусоидальной формы при различных углах проводимости ($f=50$ Гц, двустороннее охлаждение)



ДЛ273-3200, 07-Июль-2019

Рис. 8 - Зависимость потерь мощности P_{FAV} от среднего прямого тока I_{FAV} прямоугольной формы при различных углах проводимости ($f=50$ Гц, двустороннее охлаждение)

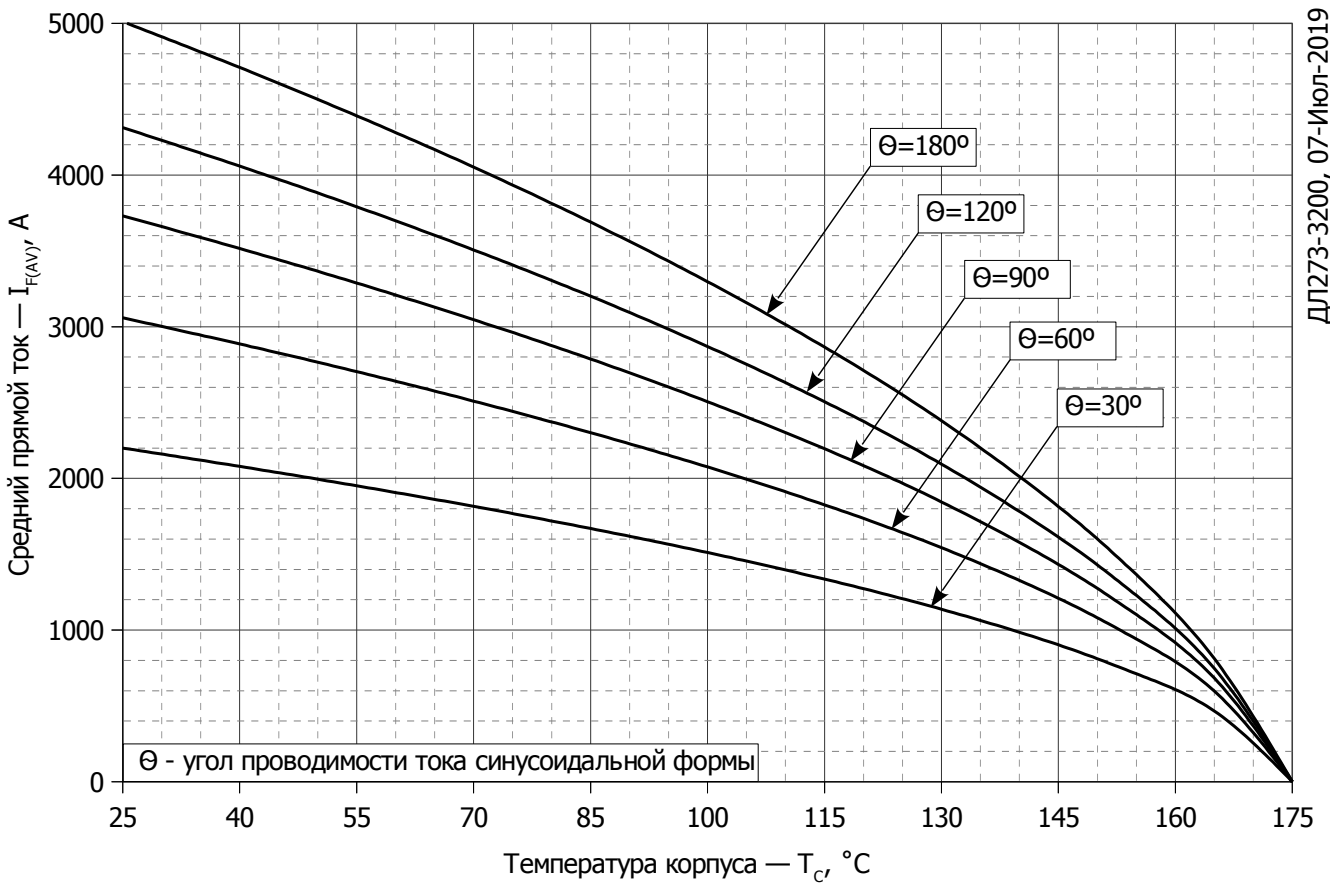


Рис. 9 – Зависимость среднего прямого тока I_{FAV} от температуры корпуса T_c для синусоидальной формы тока при различных углах проводимости ($f=50$ Гц, Двустороннее охлаждение)

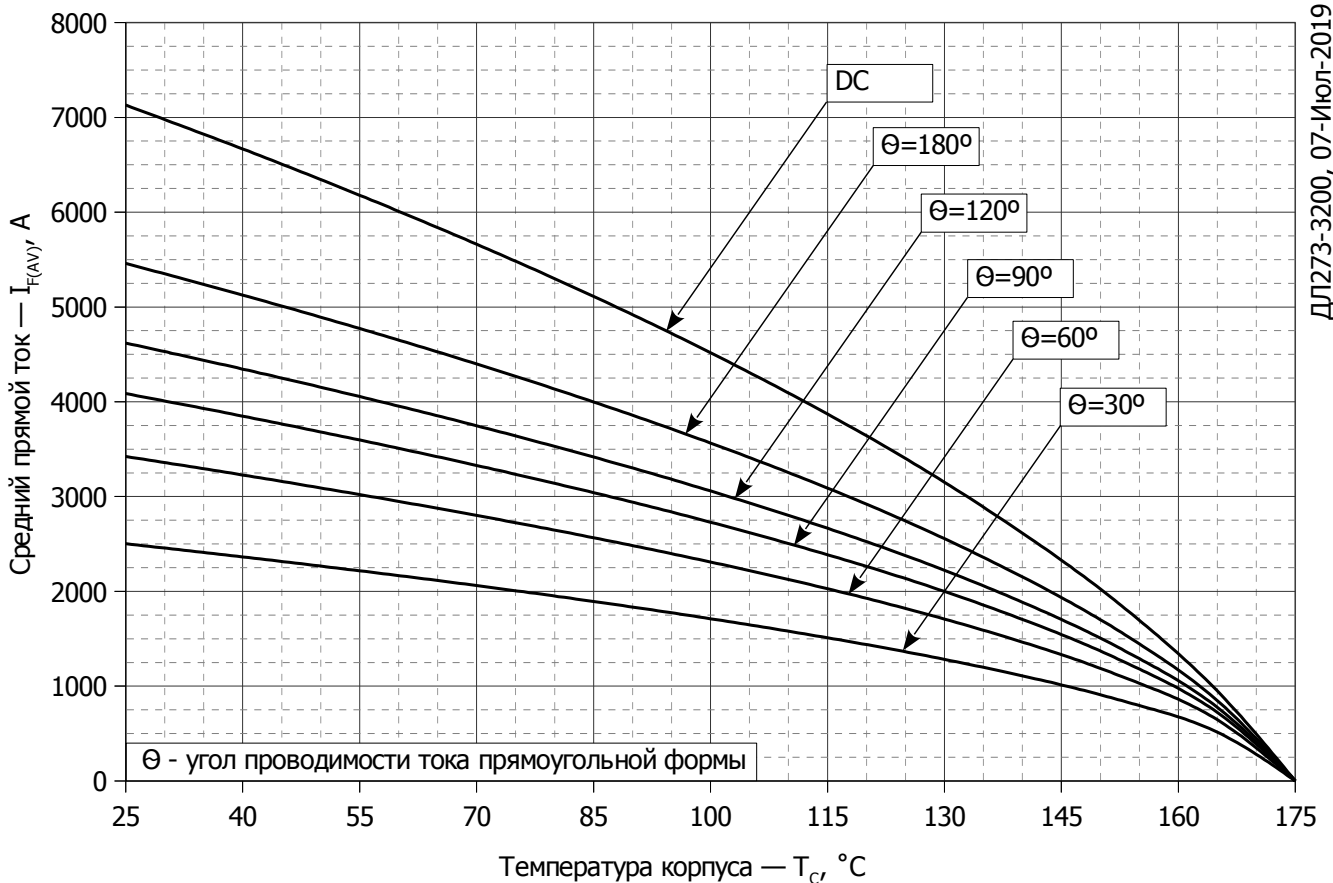


Рис. 10 - Зависимость среднего прямого тока I_{FAV} от температуры корпуса T_c для прямоугольной формы тока при различных углах проводимости ($f=50$ Гц, Двустороннее охлаждение)

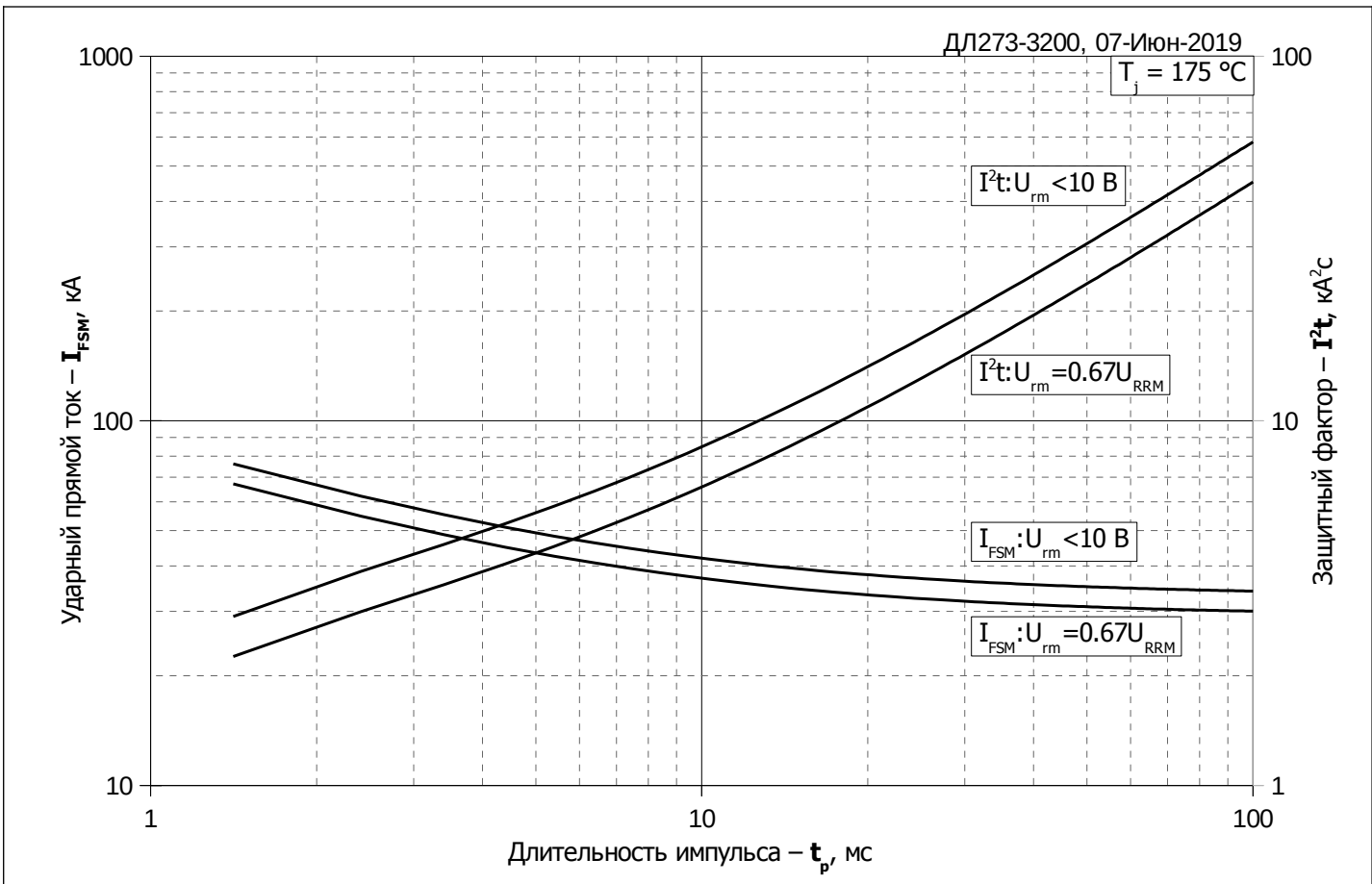


Рис. 11 – Зависимость максимальной амплитуды ударного прямого тока I_{FSM} и защитного фактора I^2t от длительности импульса t_p

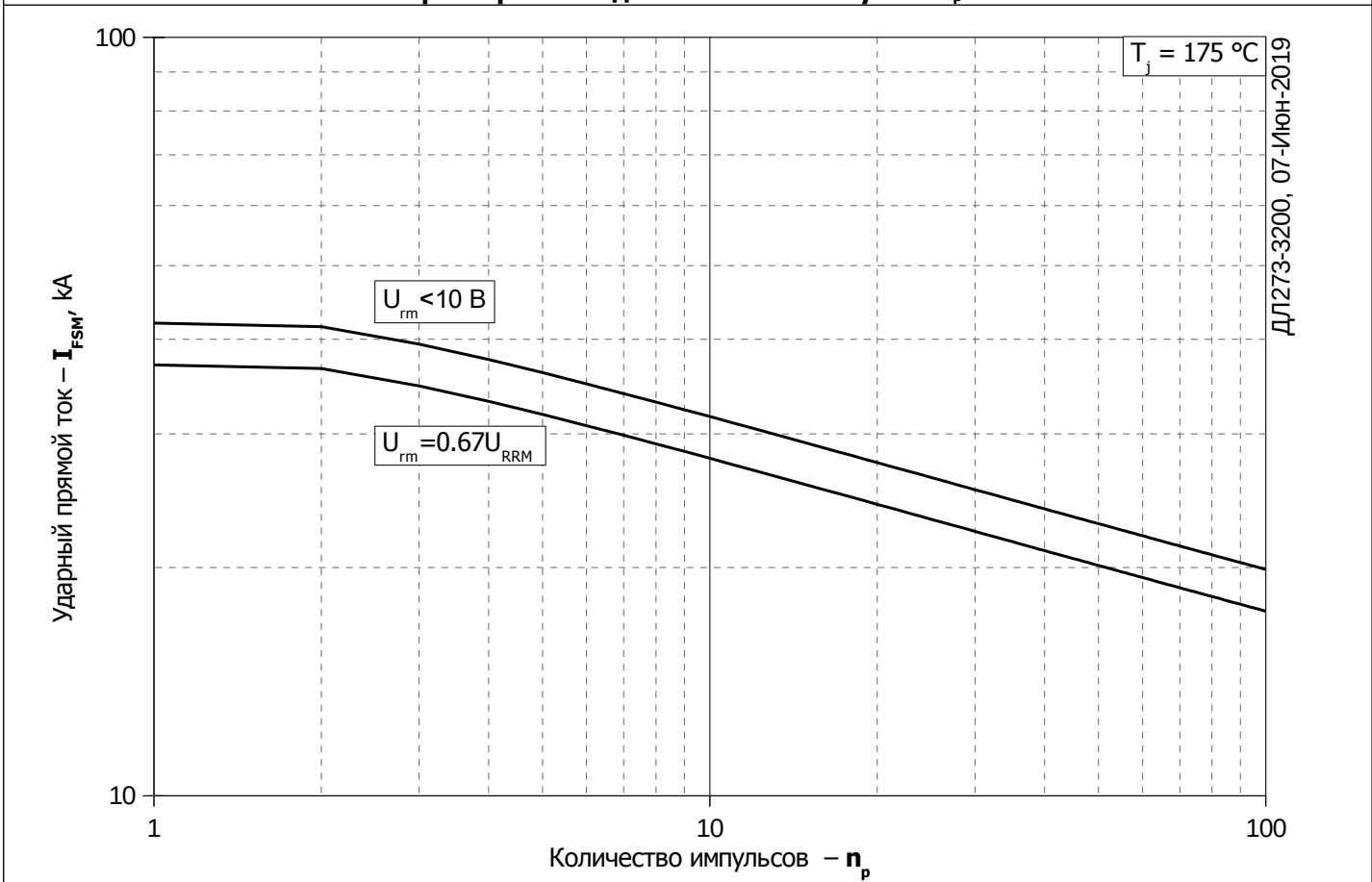


Рис. 12 – Зависимость максимальной амплитуды ударного прямого тока I_{FSM} от количества импульсов n_p